# Динамика поверхностных процессов при лазерном воздействии на прозрачный диэлектрик в различных внешних условиях

# С. В. Васильев, А. Л. Ситкевич

Гродненский государственный университет им. Янки Купалы, Гродно, Беларусь, e-mail: s.vasilijev@grsu.by

С помощью скоростной интерференционной киносъемки исследована динамика развития зоны разрушения, приповерхностного пароплазменного образования при воздействии лазерного излучения с плотностями потока до  $10^7\,\mathrm{Bt/cm^2}$  и длительностью импульса  $\sim 1\,\mathrm{mc}$  на образец из полиметилметакрилата толщиной. Экспериментально показано, что развитие зоны лазерного разрушения объясняется в основном тепловым механизмом при возможном влияние возникающих упругих колебаний.

*Ключевые слова:* зона лазерного разрушения, прозрачный диэлектрик, акустические волны.

# Dynamics of surface processes under laser irradiation of a transparent dielectric under various external conditions

#### S. V. Vasiliev, A. L. Sitkevich

Yanka Kupala State University of Grodno, Grodno, Belarus, e-mail: s.vasilijev@grsu.by

Using high-speed interference filming, the dynamics of the development of the destruction zone and the near-surface vapor-plasma formation were studied under the influence of laser radiation with flux densities of up to  $10^7 \, \text{W/cm}^2$  and a pulse duration of  $\sim 1 \, \text{ms}$  on a sample made of polymethyl methacrylate with a thickness of.

Keywords: laser destruction zone, transparent dielectric, acoustic waves.

#### Введение

Большое внимание уделяется исследованию разрушения прозрачных твердых тел под действием лазерного излучения (ЛИ) [1–6]. Это объясняется широким применением прозрачных сред в лазерной технике (активные среды, системы формирования и транспортировки пучков ЛИ, нелинейные преобразователи). В частности, значительные успехи достигнуты в использовании полиметилмета-крилата (ПММА) при изготовлении полимерных матриц для активных элементов лазерных систем. Во многом это обусловлено относительной простотой изготовления и достаточно хорошими оптическими качествами получаемых матриц [7, 8]. Однако существенным недостатком ПММА является его невысокая лучевая стойкость. В связи с этим выявление особенностей разрушения прозрачных полимеров в различных средах и при различных режимах лазерного воздействия является актуальным.

### 1. Экспериментальная установка и методика исследований

Для изучения развития необратимо изменённой зоны в прозрачных веществах, подвергшихся лазерному воздействию, были выбраны теневые и интерференционные методы исследования оптических неоднородностей. Их основные преимущества при данных исследованиях заключались в следующем: оптические методы не вводят вредных возмущений в исследуемое пространство и не вызывают изменения физических свойств среды; они обладают большой чувствительностью; дают возможность одновременно исследовать всё пространство, занятое изучаемым явлением; их успешно можно применять для исследования нестационарных быстропротекающих явлений.

Схема экспериментальной установки, использовавшейся в работе, приведена на рис. 1. Излучение рубинового лазера 1 (ГОР-100М), работавшего в режиме свободной генерации (длительность импульса  $\tau=1,2$  мс,  $\lambda=0,694$  мкм), пройдя через фокусирующую систему 2, направлялось на образец 3. Диаметр полученного таким образом пятна излучения с резкими краями варьировался в ходе экспериментов от 1 до 2 мм.

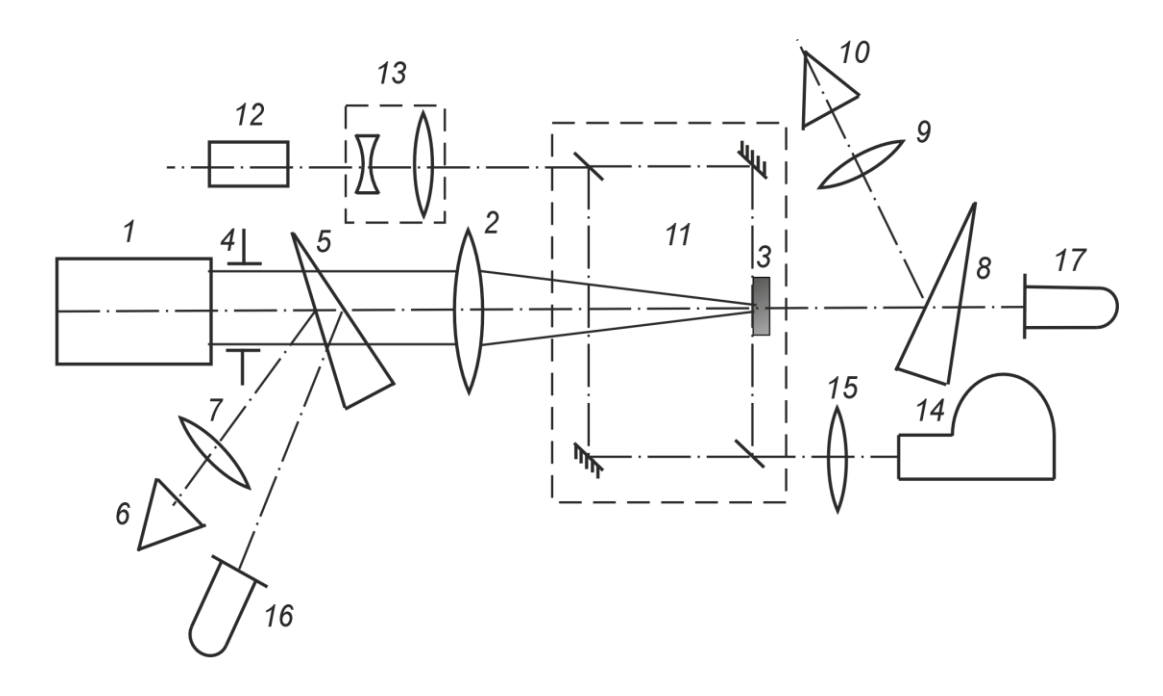


Рис. 1. Схема экспериментальной установки

Экспериментально определенный размер фокальной области (области каустики) системы 2 при использовании лазера 1 не превышал 2 мм. Часть ЛИ (~4%) направлялась передней гранью стеклянного клина 5 в измеритель энергии ИМО-2H 6, входной зрачок которого был расположен в фокальной плоскости линзы 7. Энергия лазерных импульсов варьировалась в пределах от 5 до 60 Дж. Часть излучения (~4%), прошедшего через образец 3, при помощи второго клина 8 и линзы 9 направлялась на второй измеритель энергии ИМО-2H 10. По показаниям ИМО-2H 6 и 10 (рис. 1) определялась величина коэффициента поглощения

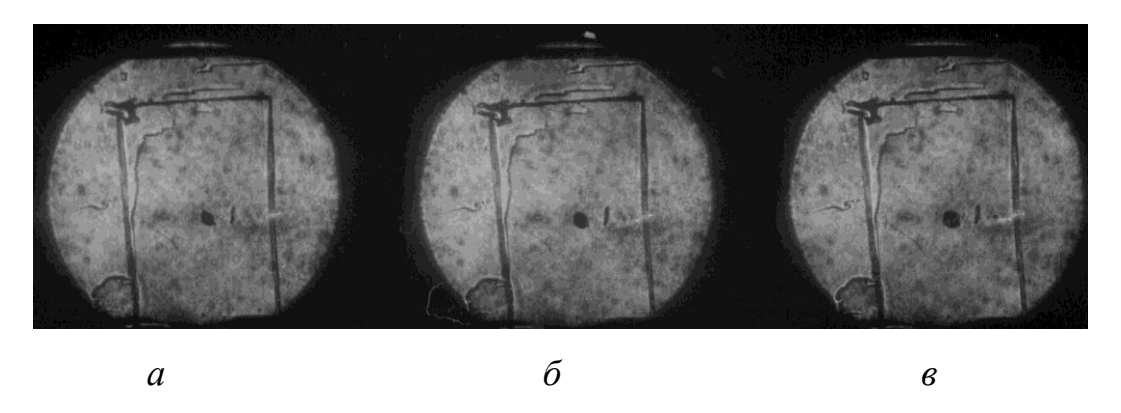
 $k_{\text{погл}}$ . Коаксиальные фотоэлементы ФЭК 16-17, сигнал с которых подавался на вход осциллографов C8-13, использовался для регистрации времен-ной формы лазерного импульса.

Для изучения приповерхностных процессов в образце 3 в ходе воздействия на него ЛИ, упомянутый образец помещался в одно из плеч голографического интерферометра Маха-Цендера 11. Интерферометр освещался излучением рубинового лазера 12 ( $\lambda = 0.694$  мкм), работавшего в режиме свободной генерации. Селекция поперечных мод зондирующего лазера осуществлялась диафрагмой, помещенной внутрь резонатора, а продольных — эталоном Фабри-Перо, использовавшимся в качестве выходного зеркала. Зондирующее излучение направлялось в коллиматор 13, позволявший получать параллельный световой пучок диаметром до 3 см и превышающим толщину облучаемого образца, что позволило наблюдать за ростом кратера, развитием пароплазменного облака, а также за формированием и распространением упругих волн в веществе мишени.

Интерферометр был состыкован со скоростной фоторегистрирующей камерой СФР-1М 14, плоскость фотопленки в которой была сопряжена с меридиональным сечением воздействующего на образец лазерного луча при помощи объектива 15. Скоростная камера работала в режиме лупы времени и обеспечивала пространственное разрешение по полю объекта  $\sim 50$  мкм. Временное разрешение составляло  $\sim 1$  мкс.

## 2. Особенности формирования кратера в полиметилметакрилате

На рис. 2 представлены теневые картины, полученные при воздействии импульсного лазерного излучения на образец из ПММА, окруженный воздухом при давлении  $10^{-3}$  Па.



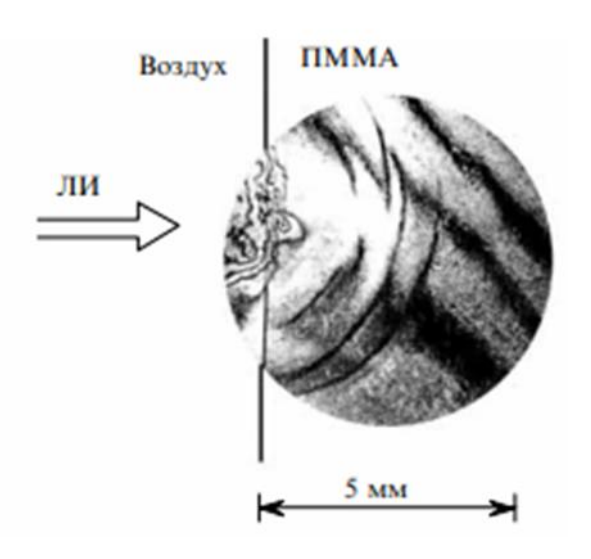
*Рис.* 2. Теневые картины в разные моменты времени относительно начала воздействия: a-t=38 мкс;  $\delta-t=44$  мкс;  $\epsilon-t=52$  мкс

Видно, что в данном случае на поверхности облучаемого образца образования макроскопической (видимой) зоны разрушения первоначально не наблюдается. При почти полном отсутствии кислорода горения ПММА не происходит, соответственно не происходит и экранировки излучения поверхностью образца. Лазерное излучение беспрепятственно проходит вглубь образца и поглощается на

неоднородностях (дефектах) материала, как при лазерном пробое в стекле и других прозрачных аморфных силикатах, а также кристаллах. В результате внутри образца возникают и увеличиваются в размерах видимые зоны разрушения (каверны). При этом первоначально развивается каверна на большем (более грубом) дефекте вдали от облучаемой поверхности. Параллельно начинает формироваться каверна и на меньшем дефекте, расположенном ближе к облучаемой поверхности. С течением времени «ближний» дефект начинает «затенять» (экранировать) дальний, и его рост замедляется. Если «ближний» дефект «выходит на поверхность», в «точке выхода» начинается развитие кратера. Если «ближняя» каверна располагается достаточно далеко от облучаемой поверхности, она на поверхность не «выходит», и кратер не образуется.

При воздействии лазерного излучения на образец из ПММА, расположенный в воде, наблюдаются явления аналогичные при воздействии ЛИ на металлический образец, расположенный в воде. Воспользовавшись предложенной методикой расчета параметров парогазового образования возможен расчет температуры поверхности ПММА.

Оптический пробой прозрачных полимеров обусловлен наличием поглощающих включений, которые всегда присутствуют в объеме образца. Также, в процессе развития кратера, в образце возникают акустические волны. На рис. 3 представлена интерференционная картина процесса воздействия ЛИ на ПММА.



*Рис. 3.* Интерферограмма акустической волны в момент времени t = 50 мкс относительно начала воздействия на ПММА ЛИ с энергией 20 Дж

Для регистрации давления упругих колебаний, формирующихся в обрабатываемом материале, использовался датчик на основе пьезокерамики ЦТС-19 с устройством для компенсации отражений. Датчик регистрировал нормальную к рабочему срезу компоненту тензора напряжений. Полоса пропускания датчика позволяла достоверно регистрировать упругие колебания с частотами до 1 МГц.

Датчик прикреплялся к тыльной стороне облучаемого образца, сигнал подавался на вход осциллографа C8-13, запуск которого был синхронизирован с запуском осциллографа, регистрирующего временную форму лазерного импульса. По осциллограммам было получено значение максимального давления упругих колебаний, которое составило  $\approx 5$  кПа.

#### Заключение.

Экспериментально показано, что развитие зоны лазерного разрушения объясняется в основном действием механизма теплового нагрева поглощающих включений в объеме образца, при возможном влияние возникающих упругих колебаний.

При расположении облучаемого образца в камере с пониженным давлением излучение лазера свободно проникает вглубь материала, что позволяет формироваться очагам пробоя в объеме образца на дефектах и неоднородностях. При этом развитие каверн, расположенных ближе к облучаемой поверхности, препятствует развитию более удаленных каверн (экранировка).

В ПММА, находящемся в воде, поглощение излучения и экранировка поверхности осуществляется за счет парогазового образования и каверн на неоднородностях внутри образца не наблюдается.

Таким образом, в вакууме и в воде (т. е. при отсутствии доступа кислорода) кратер не образуется. Следовательно, основным механизмом образования кратера на поверхности полиметилметакрилата является горение пластика.

# Библиографические ссылки

- 1. Разрушение прозрачных диэлектриков под действием мощного лазерного излучения / Б. М. Ашкинадзе [и др.] // Журнал экспериментальной и теоретической физики. 1966. Т. 50, № 5. С. 1187–1201.
- 2. Маненков А. А., Нечитайло В. С. Роль поглощающих дефектов в лазерном разрушении прозрачных полимеров // Квантовая электроника. 1980. Т. 7, № 3. С. 616–619.
- 3. *Маненков А. А.* К механизму эффекта накопления в лазерном разрушении полимеров: возникновение макроразрушения вследствие ионизационной волны поглощения / А. А. Маненков, Г. А. Матюшин, В. С. Нечитайло // Квантовая электроника. 1984. Т. 11, № 4. С. 839 841.
- 4. *Маненков, А. А., Прохоров А. М.* Лазерное разрушение прозрачных твердых тел // Успехи физических наук. 1986. Т. 148, № 1. С. 179–211.
- 5. Взаимодействие лазерного излучения с оптическими полимерами / К. М. Дюмаев [и др.] // Труды ИОФАН. М. : Наука, 1991. Т. 33. 144 с.
- 6. *Колдунов, М. Ф.* Механическое разрушение прозрачных твердых тел лазерными импульсами разной длительности / М. Ф. Колдунов, А. А. Маненков, И. Л. Покотило // Квантовая электроника. 2002. Т. 32, № 4. С. 335–340.
- 7. Активные полимерные элементы для лазеров на красителях / Д. А. Громов [и др.] // Известия АН СССР. Серия физическая. 1982. Т. 46, № 10. С. 1956—1958.
- 8. Прозрачные полимеры новый класс оптических материалов для лазеров / К. М. Дюмаев [и др.] // Квантовая электропика. 1983. Т. 10, № 4. С. 810—818.